

44 | 1958

SCHRIFTENREIHE SCHIFFBAU

E. Fritzsche

**Auswertung der Versuche von
Dipl.-Ing. Matthias**

TUHH

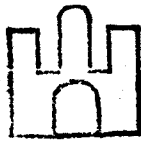
Technische Universität Hamburg-Harburg

Auswertung der Versuche von Dipl.-Ing. Matthias

E. Fritzsche, Hamburg, Technische Universität Hamburg-Harburg, 1958

© Technische Universität Hamburg-Harburg
Schriftenreihe Schiffbau
Schwarzenbergstraße 95c
D-21073 Hamburg

<http://www.tuhh.de/vss>



Institut für Schiffbau
der Universität Hamburg
- Bibliothek -

Auswertung der Versuche
VON
Dipl.-Ing. Matthias

Die Versuche von Matthias sind veröffentlicht im "Schiffbau" vom Januar 1912 XIII Jahrgang unter dem Titel:

Untersuchungen über den Druck und Druckmittelpunkt an lotrechten Platten, die recht- und spitzwinklig zur Fahrtrichtung durch Wasser geschleppt werden."

Bearbeitet vom Institut für Schiffbau an der Universität Hamburg.
Bearbeiter: Cand. arch. nav. Elmar Fritzsche

Dipl.-Ing. Matthias hat im Jahre 1911 in der Schleppversuchsanstalt Dresden-Uebigau Schleppversuche mit Platten durchgeführt. Erwählte Feststellen:

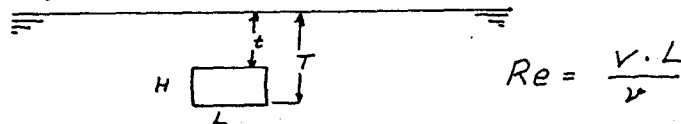
1. den Widerstand
2. die Lage des Druckmittelpkts. der Breite nach
3. die Lage desselben der Höhe nach.

Erführte die Versuche mit Platten folgender Abmessungen durch:

1. 400 x 400 mm, 4mm dick
2. 100 x 400 mm, 3mm dick
3. 400 x 100 mm □ 3mm dick
4. 100 x 100 mm 1,5mm dick

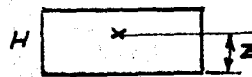
Die Platten wurden unter den Winkeln 90°, 75°, 60°, 45°, 30° und 15° mit verschiedenen Geschwindigkeiten geschleppt und die entsprechenden Messungen durchgeführt. Um Wellenbildung und Wellenwiderstand möglichst auszuschalten, wurden die Platten jeweils 200mm unter der Wasseroberfläche geschleppt. Die Auswertung der Ergebnisse entspricht nicht den heutigen Erkenntnissen. Es war Aufgabe des Instituts für Schiffbau der Universität Hamburg, die Versuchsergebnisse neu auszuwerten, und sie tabellarisch und graphisch so aufzuzeichnen, daß sie mit anderen, ähnlichen Versuchen verglichen werden können.

Es wurden die Beiwerte c_w , c_q , c_n u. c_m *) berechnet und tabellarisch zusammengestellt, sowie die Beiwerte c_w , c_q u. c_m in Abhängigkeit von der Froudschen Zahl $\frac{v^2}{g \cdot T}$ mit den Winkeln als Parameter graphisch aufgetragen. Außerdem wurden noch für die jeweiligen Meßpunkte die Re-Zahlen bestimmt, um den Charakter der Kurven besser verstehen und die Kurven untereinander, besonders in den ersten Bereichen, besser vergleichen zu können. Der Froudschen Zahl wurde jeweils die Eintauchtiefe T zugrunde gelegt.



Man muß beachten, daß man bei solchem Vorgehen nur gleiche H/T vorteilhaft miteinander vergleichen kann.

*) Die Lage des Druckmittelpunktes der Höhe nach über Unterkante Platte wurde in Form von $\frac{z}{H}$ dargestellt.



Widerstand schräg angeströmter Platten bei zweidimensionaler Strömung.

Nach Messungen im Windkanal von Lehner
~~Seite der Platte~~ $\beta = 90^\circ$

C_w

2.2

2.0

1.8

1.6

1.4

1.2

1.0

0.8

0.6

0.4

0.2

90°

70°

60°

50°

40°

30°

20°

10°

0°

1000

2000

3000

4000

5000

6000

7000

8000

9000

33

$\frac{V \cdot H}{\gamma}$

Entnommen aus L. Schiller, Umströmung von Körpern bei zweidimensionaler Strömung, Seite 723

Beurteilung der Ergebnisse:

Im allgemeinen ist c_w bei quergeschleppten Platten von der Re-Zahl unabhängig, da die Ablösung der Strömung immer an den scharfen Kanten erfolgen wird. Die Höhe des c_w -wertes für quadratische Platten ist 1,1. Das gilt aber nicht für sehr kleine Re-Zahlen, wie sie bei den Versuchen von Matthias auftreten. Aus den Kurven ergibt sich ab Re-Zahlen von $< 0,2 \cdot 10^6$ in Übereinstimmung mit der Erfahrung aus Versuchen ein Ansteigen des c_w -wertes. Die Sprünge in den Kurven bei den niedrigsten Re-Zahlen können durch Umschlagen der laminaren in turbulente Grenzschichtströmung erklärt werden.

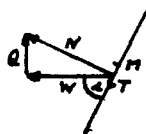
Bei der Platte 400×400 steigt der c_w -Wert für niedrige Re-Zahlen stark an. Da jedoch nicht gleich niedrige Re-Zahlen wie z.B. bei der Platte 100×100 erreicht werden, sind auch nicht die Sprünge am Anfang der Kurve zu beobachten. Da sich bei der Platte 400×400 schon der Wellenwiderstand durch Wellenbildung an der Oberfläche bemerkbar macht, wird der c_w -Wert von 1,1 nicht erreicht. Für die übrigen Beiwerte gelten die angestellten Überlegungen sinngemäß.

Auch bei den Versuchen mit den Platten 100×400 und 400×100 sind die Ergebnisse durch Re-Einflüsse zu erklären.

Für die praktische Anwendung kommen natürlich nur Bereiche mit verhältnismäßig großen Re- und Froudschen Zahlen in Betracht. In diesen Bereichen ist der Verlauf der Kurven verhältnismäßig klar.

Bestimmung der Beiwerte:

Dipl.-Ing. Matthias hat in seinen Tabellen den Wert W angegeben. W ist bei ihm die in Richtung der Fahrt fallende Komponente des Gesamtwiderstands der Platte.



Die Tangentialkraft T in Richtung der schräggeschleppten Platte ist vernachlässigbar klein.

Die Beiwerte stehen durch folgende Beziehungen in Zusammenhang:

$$c_w = \frac{W}{\rho \cdot F} \quad c_N = \frac{c_w}{\sin \alpha} \quad c_Q = c_N \cdot \cos \alpha \quad c_M = c_N \cdot \left(\frac{l}{L} \right)^3$$

)¹ als hier gebrauchte Näherung für $c_N = \frac{c_w}{\sin \alpha} - c_T \cot \alpha$

)² als hier gebrauchte Näherung für $c_Q = c_N \cos \alpha - c_T \sin \alpha$

)³ l = in Plattenrichtung gemessener Druckpunktabstand vom Lateralschwerpunkt.

Zusammenstellung der Ergebnisse

Tab. 5

Tab. 4

Platte 400 x 400, 4mm dick

Platte 100 x 100, 1.5 mm dick

90°	v [m/s]	v ² g·T	C _w	C _q	C _N	C _M	Z/H	90°	v [m/s]	v ² g·T	C _w	C _q	C _N	C _M	Z/H
	0,2	0,0068	1,488	—	1,488	—	0,4188	0,3	0,0306	1,266	—	1,266	—	0,47	
	0,4	0,0272	1,291	—	1,291	—	0,4765	0,5	0,0852	1,270	—	1,270	—	0,518	
	0,6	0,0612	1,27	—	1,27	—	0,5045	1,0	0,341	1,203	—	1,203	—	0,518	
	0,8	0,1087	1,265	—	1,265	—	0,524	1,5	0,764	1,149	—	1,149	—	0,543	
	1,0	0,1699	1,246	—	1,256	—	0,5325	2,0	1,36	1,120	—	1,120	—	0,557	
	1,2	0,2446	1,246	—	1,246	—	0,538	2,5	2,13	1,108	—	1,108	—	0,563	
	1,4	0,333	1,225	—	1,225	—	0,5415	3,0	3,06	1,108	—	1,108	—	0,564	
								3,5	4,14	1,103	—	1,103	—	0,568	
								4,0	5,43	1,094	—	1,094	—	0,571	
75°	0,2	0,0068	1,4573	0,3905	1,5088	0,0323	0,414	0,3	0,0306	1,1813	0,3165	1,2230	—	0,47	
	0,4	0,0272	1,2645	0,3388	1,3091	0,0359	0,4783	0,5	0,0852	1,246	0,3339	1,2903	0,0453	0,536	
	0,6	0,0612	1,2401	0,3323	1,2833	0,0392	0,5063	1,0	0,341	1,1735	0,3144	1,2150	0,0441	0,541	
	0,8	0,1087	1,2365	0,3313	1,2802	0,0414	0,5233	1,5	0,764	1,1219	0,3006	1,1616	0,0445	0,556	
	1,0	0,1699	1,2253	0,3283	1,2686	0,0426	0,5333	2,0	1,36	1,0956	0,2925	1,1301	0,0447	0,566	
	1,2	0,2446	1,2156	0,3257	1,2585	0,0434	0,5383	2,5	2,13	1,0799	0,2893	1,1180	0,0444	0,562	
	1,4	0,333	1,1974	0,3208	1,2397	0,0438	0,54	3,0	3,06	1,0809	0,2896	1,1191	0,0443	0,568	
								3,5	4,14	1,0749	0,2880	1,1129	0,0443	0,569	
								4,0	5,43	1,0661	0,2857	1,1038	0,0441	0,570	
60°	0,2	0,0068	1,3002	0,7507	1,5014	0,0547	0,4208	0,3	0,0306	1,1358	0,6558	1,3116	0,0696	0,473	
	0,4	0,0272	1,1303	0,6526	1,3052	0,0603	0,4745	0,5	0,0852	1,1031	0,6369	1,2738	0,0708	0,548	
	0,6	0,0612	1,1108	0,6444	1,2827	0,0660	0,505	1,0	0,341	1,0929	0,631	1,2162	0,069	0,544	
	0,8	0,1087	1,1059	0,6389	1,2777	0,06887	0,5233	1,5	0,764	1,0070	0,581	1,1628	0,0701	0,546	
	1,0	0,1699	1,0996	0,6349	1,2698	0,0705	0,533	2,0	1,36	0,9796	0,5656	1,1312	0,0674	0,558	
	1,2	0,2446	1,0894	0,629	1,258	0,0712	0,5385	2,5	2,13	0,9701	0,5601	1,1202	0,0670	0,563	
	1,4	0,333	1,0736	0,6199	1,2397	0,0710	0,54	3,0	3,06	0,9701	0,5601	1,1202	0,0670	0,568	
								3,5	4,14	0,9676	0,5587	1,1173	0,0670	0,566	
								4,0	5,43	0,9587	0,5536	1,1071	0,0668	0,572	
45°	0,2	0,0068	1,0448	1,0448	1,4776	0,0724	0,422	0,3	0,0306	0,8952	0,8952	1,2660	0,0778	0,462	
	0,4	0,0272	0,9083	0,9083	1,2845	0,0772	0,4755	0,5	0,0852	0,8890	0,8890	1,2586	0,0858	0,550	
	0,6	0,0612	0,8917	0,8917	1,2611	0,0788	0,5083	1,0	0,341	0,8472	0,8472	1,1982	0,0848	0,539	
	0,8	0,1087	0,8891	0,8891	1,2574	0,0817	0,5233	1,5	0,764	0,8092	0,8092	1,1444	0,0867	0,540	
	1,0	0,1699	0,8810	0,8810	1,2460	0,08298	0,5345	2,0	1,36	0,7864	0,7864	1,1122	0,0868	0,558	
	1,2	0,2446	0,8749	0,8749	1,2373	0,0840	0,5375	2,5	2,13	0,7787	0,7787	1,1014	0,0866	0,563	
	1,4	0,333	0,8601	0,8601	1,2164	0,0839	0,5395	3,0	3,06	0,7780	0,7780	1,1002	0,0869	0,568	
								3,5	4,14	0,7745	0,7745	1,0958	0,0869	0,566	
								4,0	5,43	0,7689	0,7689	1,0874	0,0863	0,572	
30°	0,2	0,0068	0,7098	1,2294	1,419	0,0849	0,419	0,3	0,0306	0,8952	0,8952	1,2660	0,0778	0,462	
	0,4	0,0272	0,6198	1,0733	1,2394	0,0895	0,4738	0,5	0,0852	0,8890	0,8890	1,2586	0,0858	0,550	
	0,6	0,0612	0,6065	1,0504	1,2129	0,0934	0,5075	1,0	0,341	0,8472	0,8472	1,1982	0,0848	0,539	
	0,8	0,1087	0,6028	1,0440	1,2055	0,0972	0,525	1,5	0,764	0,8092	0,8092	1,1444	0,0867	0,540	
	1,0	0,1699	0,5991	1,0377	1,1982	0,1004	0,5325	2,0	1,36	0,7864	0,7864	1,1122	0,0868	0,558	
	1,2	0,2446	0,5956	1,0316	1,1912	0,1004	0,5383	2,5	2,13	0,7787	0,7787	1,1014	0,0866	0,563	
	1,4	0,333	0,5837	1,0110	1,1674	0,09923	0,54	3,0	3,06	0,7780	0,7780	1,1002	0,0869	0,568	
								3,5	4,14	0,7745	0,7745	1,0958	0,0869	0,566	
								4,0	5,43	0,7689	0,7689	1,0874	0,0863	0,572	
15°	0,2	0,0068	0,3492	1,3036	1,3496	0,1293	0,4445	0,3	0,0306	0,8952	0,8952	1,2660	0,0778	0,462	
	0,4	0,0272	0,3024	1,1286	1,1684	0,1338	0,4755	0,5	0,0852	0,8890	0,8890	1,2586	0,0858	0,550	
	0,6	0,0612	0,2965	1,1064	1,1455	0,1432	0,508	1,0	0,341	0,8472	0,8472	1,1982	0,0848	0,539	
	0,8	0,1087	0,2960	1,1046	1,1436	0,1481	0,524	1,5	0,764	0,8092	0,8092	1,1444	0,0867	0,540	
	1,0	0,1699	0,2935	1,0955	1,1342	0,1514	0,5065	2,0	1,36	0,7864	0,7864	1,1122	0,0868	0,558	
	1,2	0,2446	0,2912	1,0867	1,1251	0,1525	0,5263	2,5	2,13	0,7787	0,7787	1,1014	0,0866	0,563	
	1,4	0,333	0,2860	1,0673	1,1050	0,1501	0,5405	3,0	3,06	0,7780	0,7780	1,1002	0,0869	0,568	
								3,5	4,14	0,7745	0,7745	1,0958	0,0869	0,566	
								4,0	5,43	0,7689	0,7689	1,0874	0,0863	0,572	

v [m/s]	$\frac{v^2}{g \cdot T}$	C_W	C_Q	C_N	C_M	$\frac{z}{H}$
30° 0.3	0,0306	0,6115	1,0591	1,223	0,0937	0,504
0.5	0,0852	0,6325	1,0448	1,2065	0,09917	0,533
1.0	0,341	0,569	0,9855	1,138	0,10083	0,543
1.5	0,764	0,5475	0,9482	1,095	0,1045	0,553
2.0	1,36	0,532	0,9214	1,064	0,1049	0,553
2.5	2,13	0,5274	0,9135	1,055	0,1019	0,566
3.0	3,06	0,528	0,9144	1,056	0,1026	0,565
3.5	4,14	0,5262	0,9113	1,052	0,1031	0,566
4.0	5,43	0,5219	0,9038	1,044	0,1027	0,571

15° 0.3	0,0306	0,2837	1,059	1,0964	0,1414	0,37
0.5	0,0852	0,2975	1,102	1,1494	0,1534	0,547
1.0	0,341	0,2842	1,0608	1,0983	0,1494	0,543
1.5	0,764	0,2700	1,0077	1,0433	0,1450	0,55
2.0	1,36	0,2623	0,9790	1,0136	0,1486	0,558
2.5	2,13	0,2621	0,9782	1,0127	0,1509	0,565
3.0	3,06	0,2598	0,9696	1,0038	0,1506	0,569
3.5	4,14	0,258	0,9631	0,9971	0,1501	0,564
4.0	5,43	0,2569	0,9553	0,9890	0,1493	0,569

v [m/s]	$\frac{v^2}{g \cdot T}$	C_W	C_Q	C_N	C_M	$\frac{z}{H}$
60° 0.2	0,0068	0,9782	0,6448	1,2896	0,05984	0,4175
0.4	0,0272	1,1073	0,6393	1,2786	0,0687	0,4763
0.6	0,0612	1,1111	0,6416	1,2931	0,0726	0,5083
0.8	0,1087	1,1371	0,6566	1,3131	0,0749	0,5233
1.0	0,1699	1,1385	0,6574	1,3147	0,0769	0,5333
1.2	0,2446	1,1410	0,6588	1,3176	0,0775	0,5388
1.4	0,333	1,1343	0,6549	1,3098	0,0773	0,5405
1.6	0,4349	1,1137	0,643	1,286	0,0769	0,5413
1.8	0,5505	1,0621	0,6132	1,264	0,0759	0,5433
2.0	0,6796	1,0621	0,6133	1,2265	0,0760	0,5455

45° 0.2	0,0068	0,6876	0,6876	0,9724	0,0564	0,4305
0.4	0,0272	0,7958	0,7958	1,1254	0,0763	0,4765
0.6	0,0612	0,8236	0,8236	1,1647	0,079	0,510
0.8	0,1087	0,8429	0,8429	1,1921	0,082	0,5205
1.0	0,1699	0,8482	0,8482	1,1996	0,0869	0,5363
1.2	0,2446	0,8458	0,8458	1,1961	0,0889	0,5383
1.4	0,333	0,8407	0,8407	1,1890	0,0898	0,5413
1.6	0,4349	0,8244	0,8244	1,1659	0,0890	0,542
1.8	0,5505	0,819	0,812	1,1483	0,0884	0,5433
2.0	0,6796	0,7929	0,7929	1,1213	0,0870	0,5438

Platte 400 x 100, 3mm dick

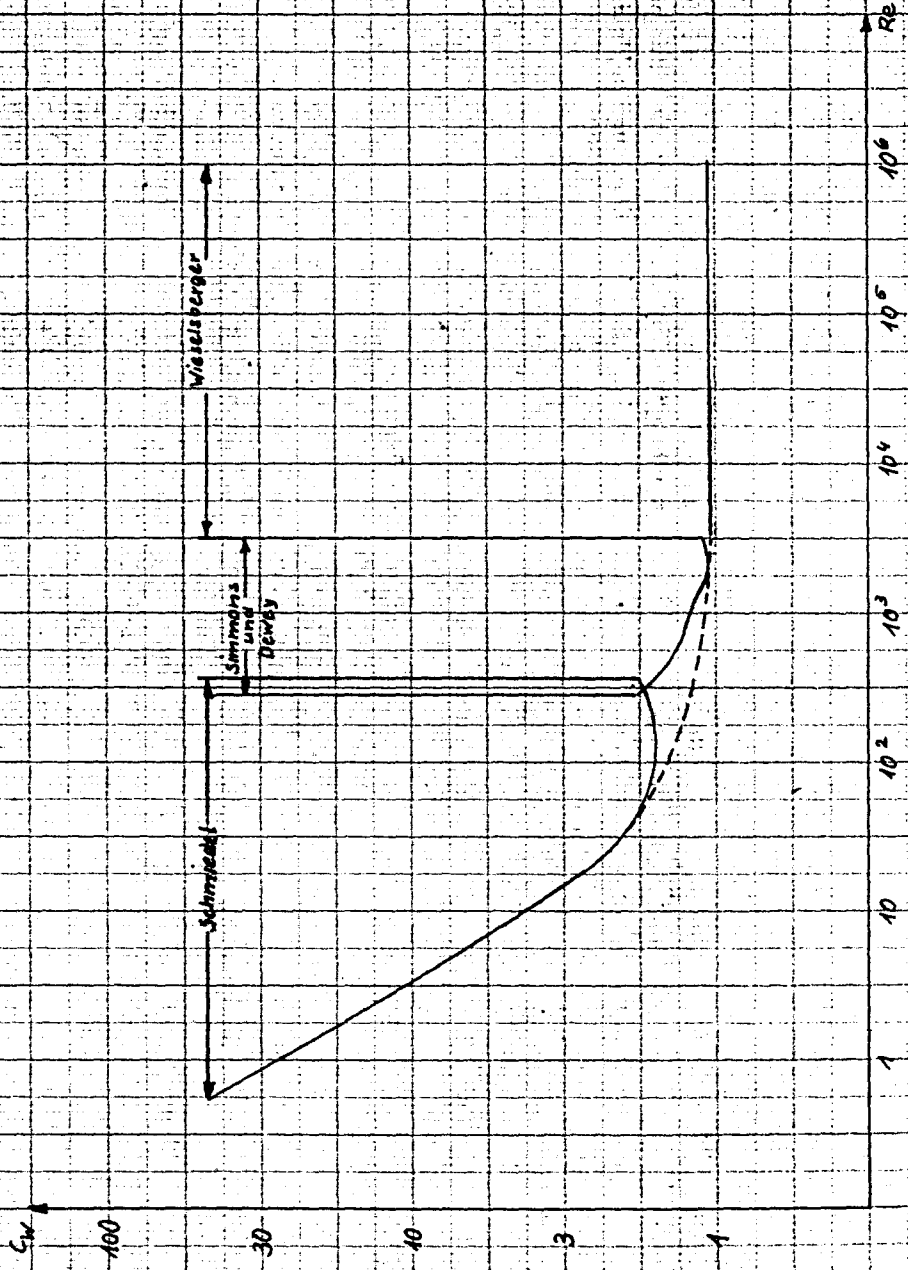
90° 0.2	0,0068	1.3	—	1.3	—	0,4205
0.4	0,0272	1,276	—	1,276	—	0,4763
0.6	0,0612	1,316	—	1,316	—	0,5075
0.8	0,1087	1,344	—	1,344	—	0,5225
1.0	0,1699	1,354	—	1,354	—	0,5335
1.2	0,2446	1,35	—	1,35	—	0,5375
1.4	0,333	1,342	—	1,342	—	0,5383
1.6	0,4349	1,319	—	1,319	—	0,5415
1.8	0,5505	1,296	—	1,296	—	0,542
2.0	0,6796	1,267	—	1,267	—	0,5425

30° 0.2	0,0068	0,509	0,8115	1,0179	0,0737	0,4113
0.4	0,0272	0,4996	0,8652	0,9991	0,0823	0,4783
0.6	0,0612	0,5126	0,8878	1,0262	0,0883	0,5088
0.8	0,1087	0,5255	0,9102	1,0510	0,0931	0,5233
1.0	0,1699	0,5335	0,9239	1,0669	0,0977	0,5333
1.2	0,2446	0,5272	0,9131	1,0544	0,0976	0,538
1.4	0,333	0,5241	0,9077	1,0481	0,0981	0,539
1.6	0,4349	0,5151	0,8921	1,0301	0,0979	0,5428
1.8	0,5505	0,5068	0,8777	1,0135	0,0967	0,545
2.0	0,6796	0,4961	0,8592	0,9921	0,0948	0,5443

75° 0.2	0,0068	1,2758	0,3418	1,3208	0,0346	0,4213
0.4	0,0272	1,235	0,3309	1,2786	0,0429	0,475
0.6	0,0612	1,2736	0,3413	1,3186	0,04602	0,5095
0.8	0,1087	1,3007	0,385	1,3467	0,0474	0,523
1.0	0,1699	1,313	0,3578	1,3594	0,04975	0,533
1.2	0,2446	1,3066	0,3501	1,3527	0,0517	0,5383
1.4	0,333	1,2991	0,3481	1,345	0,05205	0,54
1.6	0,4349	1,2753	0,3417	1,3203	0,0519	0,5418
1.8	0,5505	1,2556	0,3364	1,2999	0,0512	0,5423
2.0	0,6796	1,226	0,3285	1,2695	0,0501	0,5432

15° 0.2	0,0068	0,2328	0,8629	0,8996	0,1026	0,4383
0.4	0,0272	0,2295	0,8566	0,8868	0,1135	0,4445
0.6	0,0612	0,2405	0,8974	0,9291	0,1226	0,5093
0.8	0,1087	0,2449	0,9139	0,9462	0,1285	0,6238
1.0	0,1699	0,2471	0,9220	0,9546	0,1321	0,532
1.2	0,2446	0,2453	0,9154	0,9477	0,1238	0,54
1.4	0,333	0,2438	0,9099	0,9421	0,1344	0,543
1.6	0,4349	0,2400	0,8957	0,9273	0,1348	0,5415
1.8	0,5505	0,2358	0,8803	0,9111	0,1336	0,542
2.0	0,6796	0,2305	0,8603	0,8907	0,1312	0,5458

Widerstand senkrecht angeströmter Kreisscheiben
 Nach Fallversuchen von Schmiedel, Anblasversuchen von
 Simmons und Dewey und von
 Wiesberger.

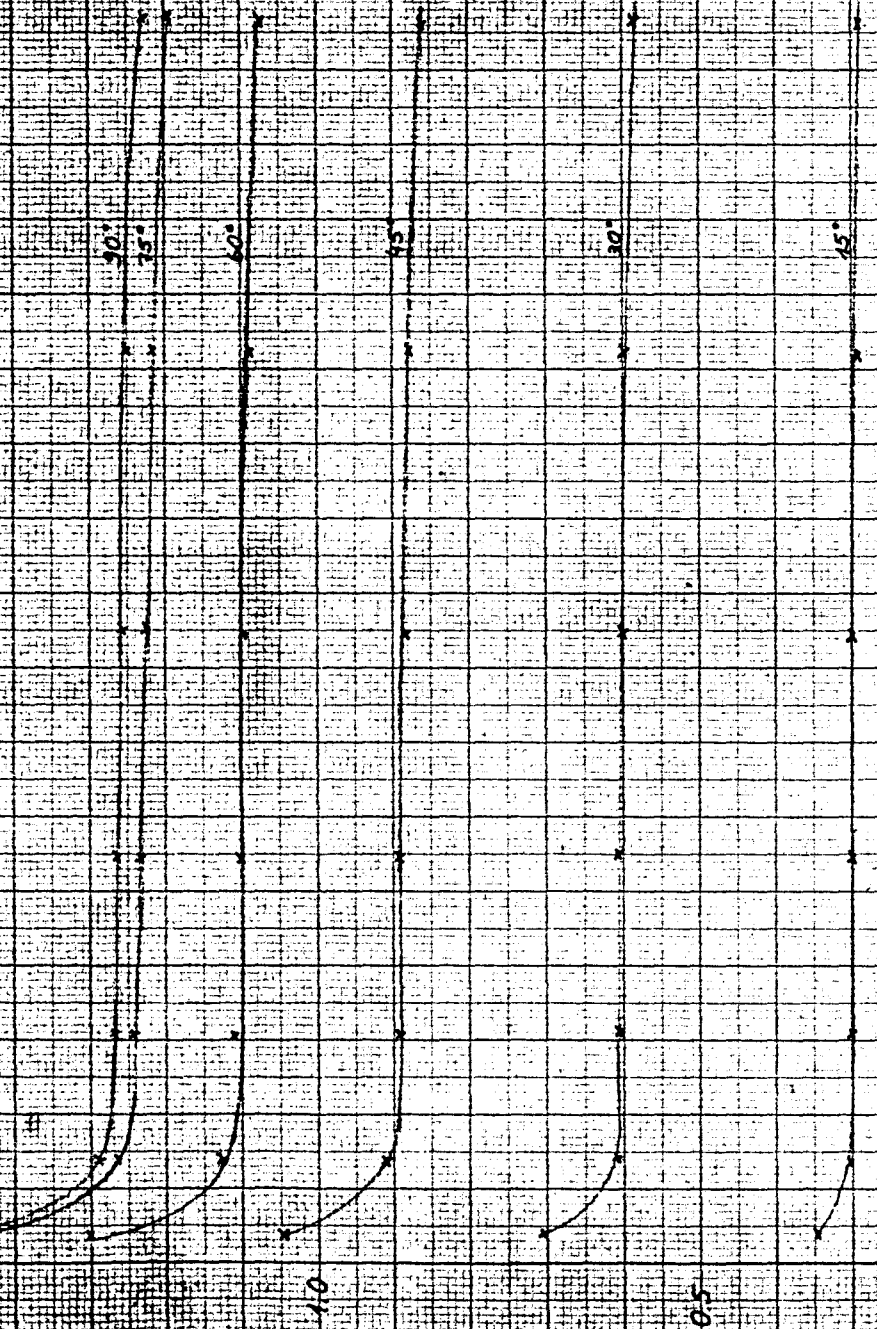


~~31~~
 34

Entnommen aus L. Schiller, Umströmung von
 Körpern bei räumlicher Strömung, Seite 767
 und aus Prandtl, Strömungslehre Seite 180

Platte 400 x 400, 4mm dick, Oberkante 2,00 mm unter Wasseroberfläche

W
 $\frac{5}{2} \cdot v^2 \cdot L \cdot H$



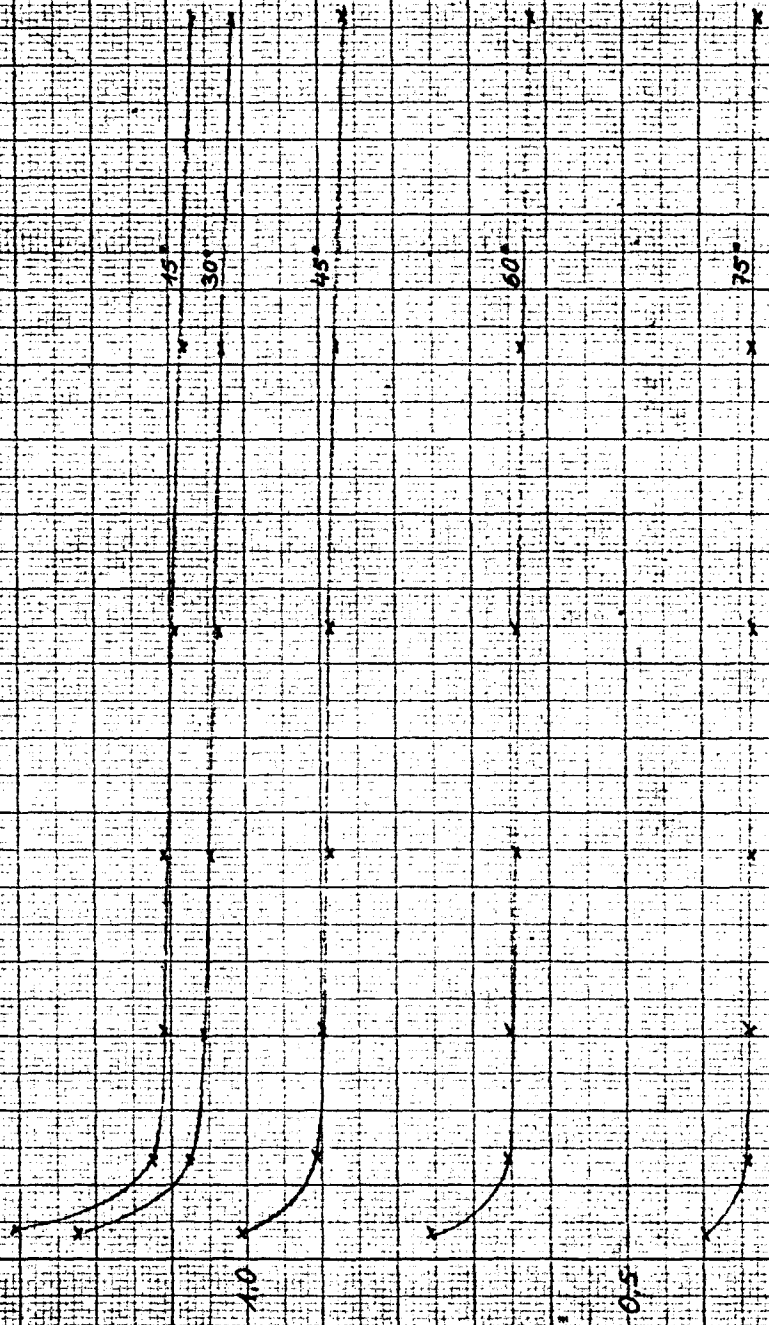
$\frac{Re}{100}$
 $\frac{v^2}{9.7}$

0.1 0.2 0.3 0.4 0.5 0.3 0.2 0.1

50

Platte 400 x 400, 4mm dick Oberkante 200mm unter d. Wasseroberfläche

$$c_{\text{rel}} = \frac{G_2}{3/2 \sqrt{L \cdot H}}$$



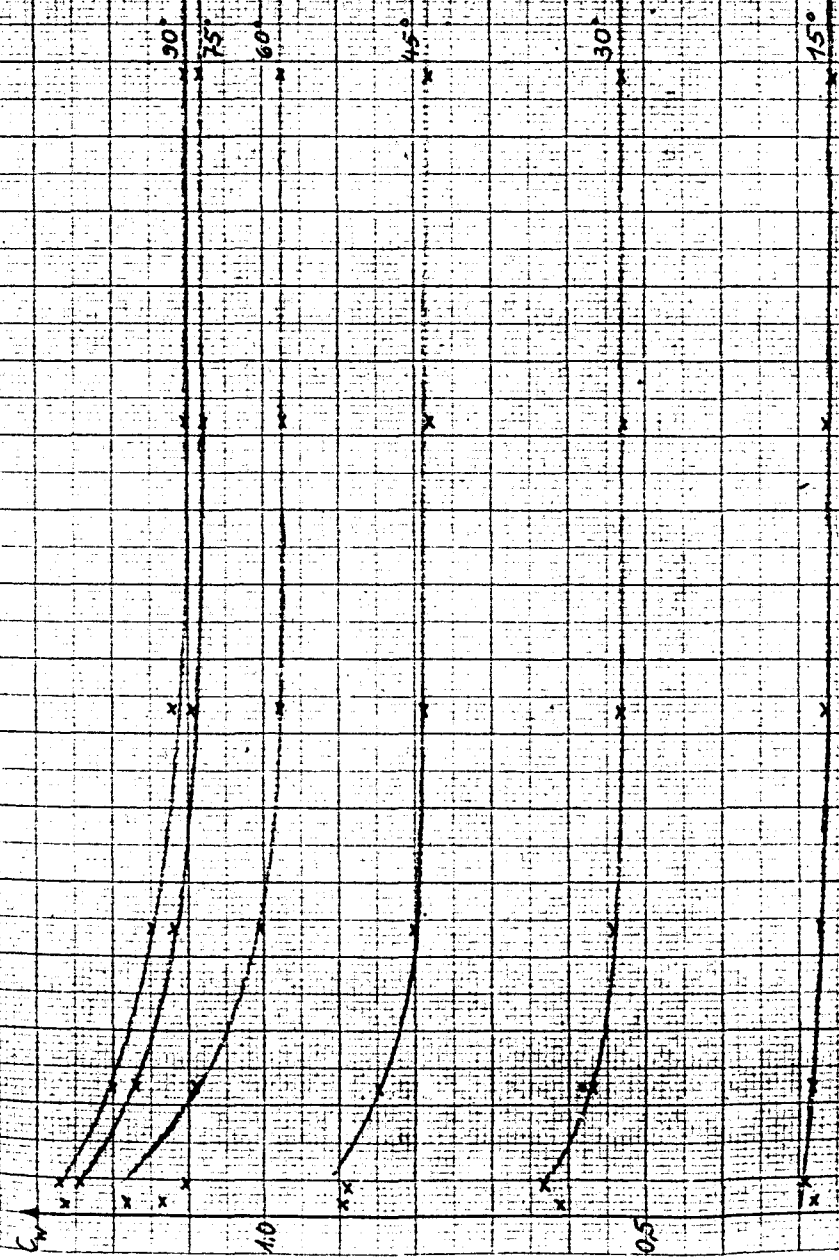
$\frac{R_2}{10}$
 $\frac{v^2}{9.7}$

0.1 0.2 0.3 0.4 0.5 0.3 0.2 0.1

M

5

15.100 15 mm Zähl. Oberkante 200 mm unter Wasseroberfläche



~~0.1~~ $\frac{v^2}{gT}$ 100 50

0.05 0.1 0.15 0.2 0.25 0.3 0.35 4.0 5.0

134

Platte 100 x 100 1.5 mm dick Oberkante 200 mm unter d. Wasseroberfläche

0.05

0.1

0.15

0.2

0.25

0.3

0.35

0.4

0.5

1.0

2.0

3.0

4.0

5.0

15°

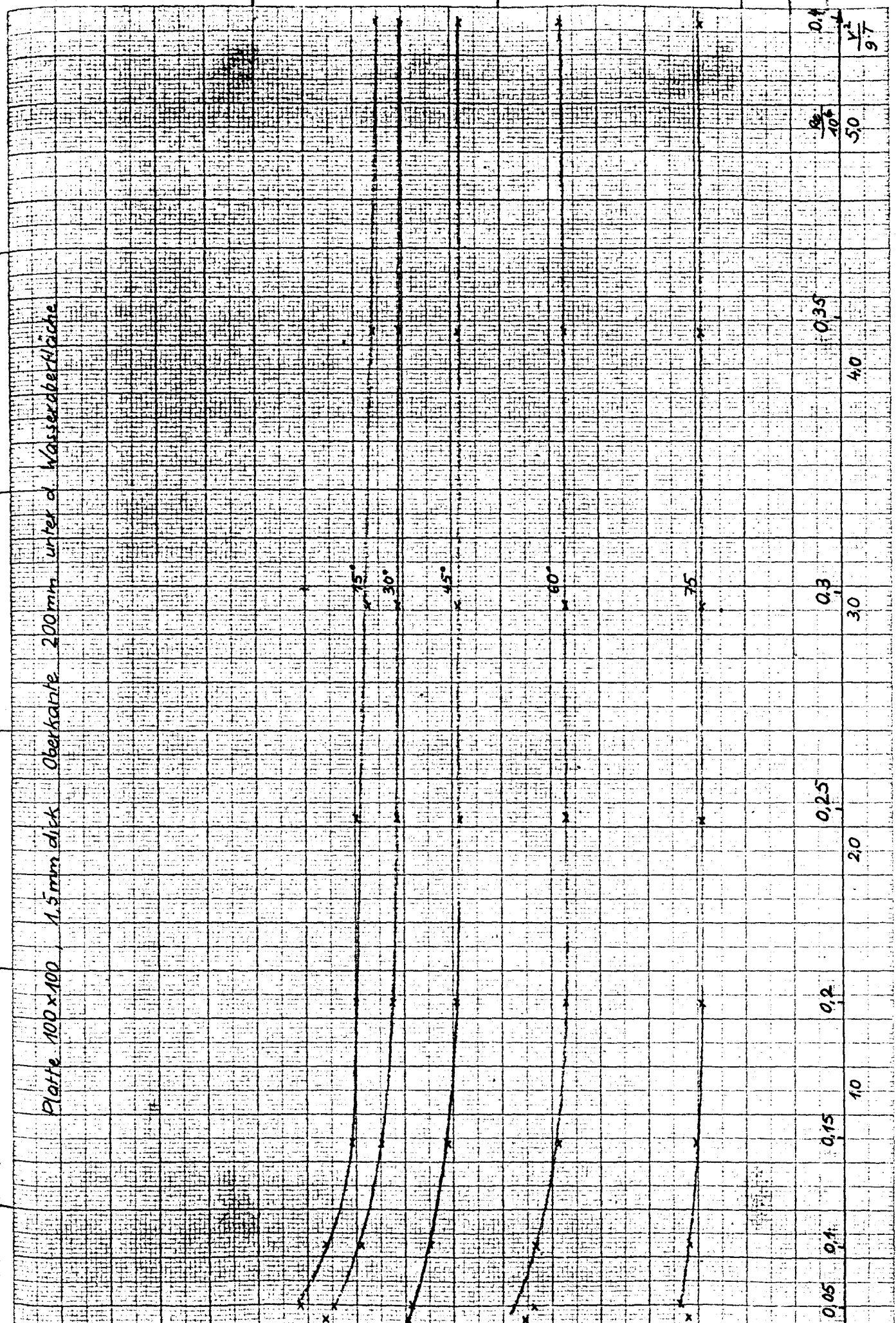
30°

45°

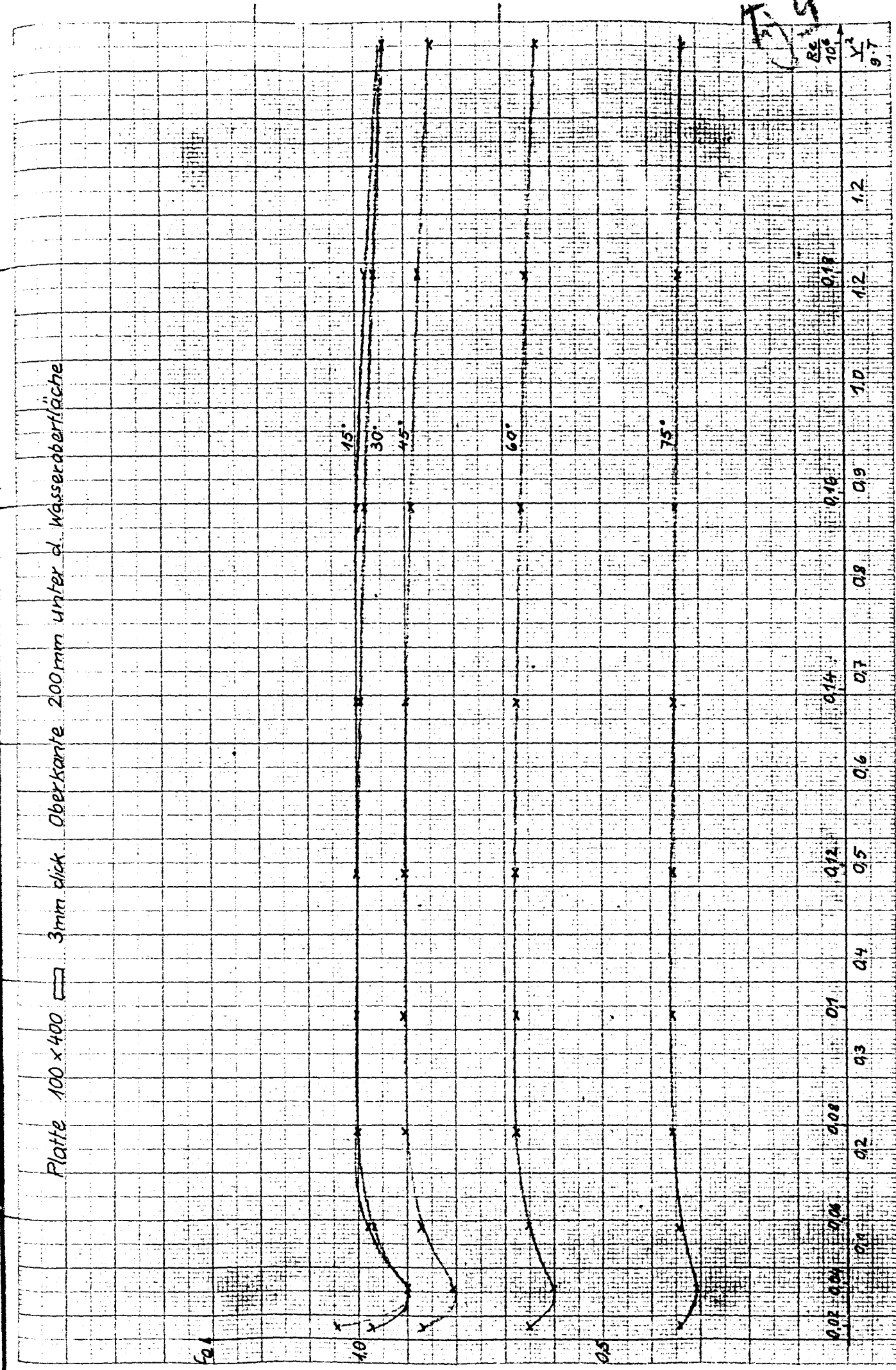
60°

75°

0.4
10
50
9.7

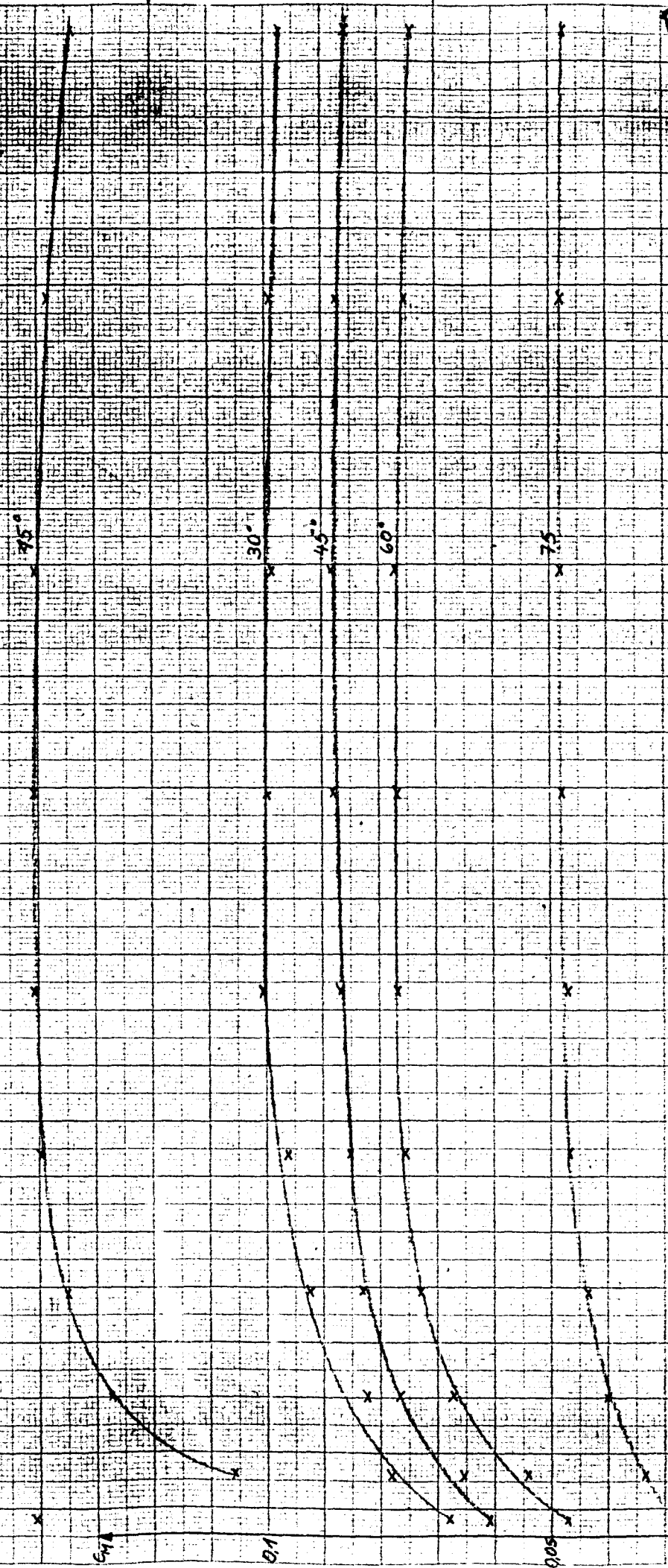


Platte 100 x 400 \square 3mm dick Oberkante 200mm unter d. Wasseroberfläche



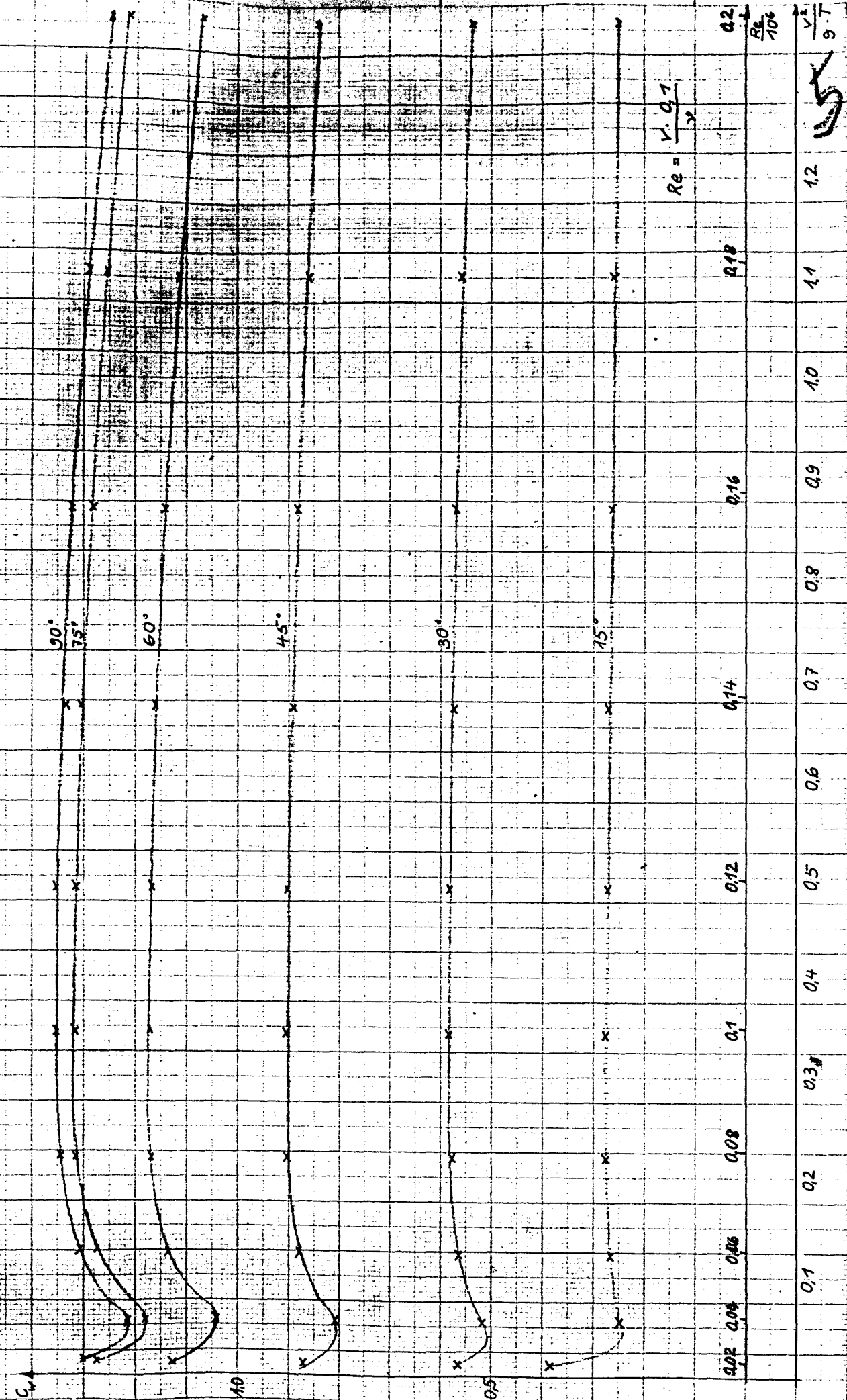
F13

Platte 100x400 3mm dick Oberkante 200mm unter d. Wasseroberfläche



$\frac{Re}{10^6}$	$\frac{v^2}{g \cdot T}$
0.02	0.1
0.04	0.2
0.06	0.3
0.08	0.4
0.1	0.5
0.12	0.6
0.14	0.7
0.16	0.8
0.18	0.9
0.19	1.0
0.19	1.1
0.19	1.2

Platte 100 x 400 3mm dick Oberkante 200mm unter Wasseroberfläche



$$Re = \frac{v \cdot d}{\nu}$$

0.2
0.4
0.6
0.8
1.0
1.2

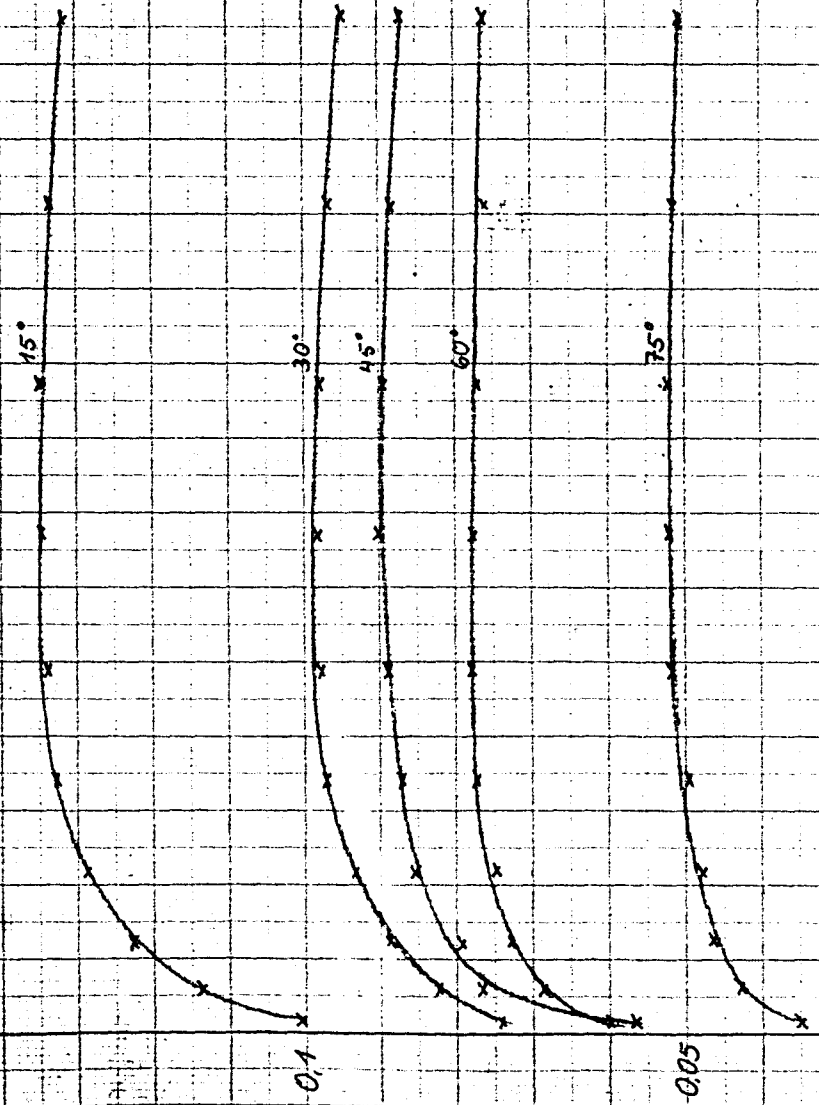
0.02 0.04 0.06 0.08 0.1 0.12 0.16 0.2 0.3 0.4 0.5 0.6 0.7 0.8 0.9 1.0 1.1 1.2

15

2

Platte 400 x 100 3mm dick Oberkante 200mm unter Wasseroberfläche

cm



0.02 0.04 0.06 0.08 0.1 0.12 0.14 0.16 0.18 0.2

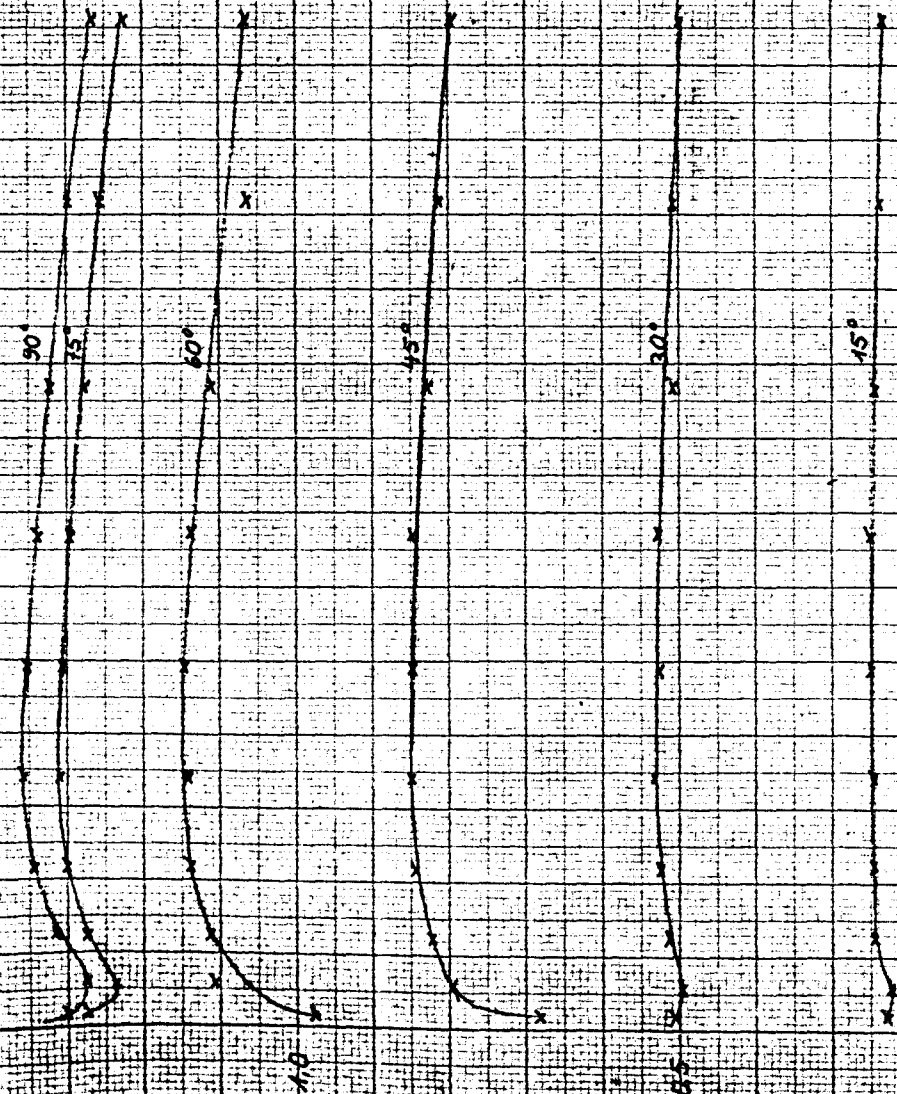
0.05 0.1

$\frac{R_2}{10}$ $\frac{V_1}{9.7}$

101

Pichte 400 x 100 [3 mm] d. Oberseite 200 mm Unter Wasserhöhe

$$C_{W,1} = \frac{W}{\rho \cdot V \cdot L \cdot H}$$



$$Re = \frac{V \cdot 0.1}{\nu}$$

$\frac{Re}{10^4}$	$\frac{V^2}{g \cdot H}$
0.1	0.1
0.2	0.2
0.3	0.3
0.4	0.4
0.5	0.5
0.6	0.6
0.7	0.7
0.8	0.8

Platte 400 x 400 4mm dick Oberkante 200mm Unter Wasseroberfläche

150

30

45

60

75

0.15

0.1

0.05

0.3

0.4

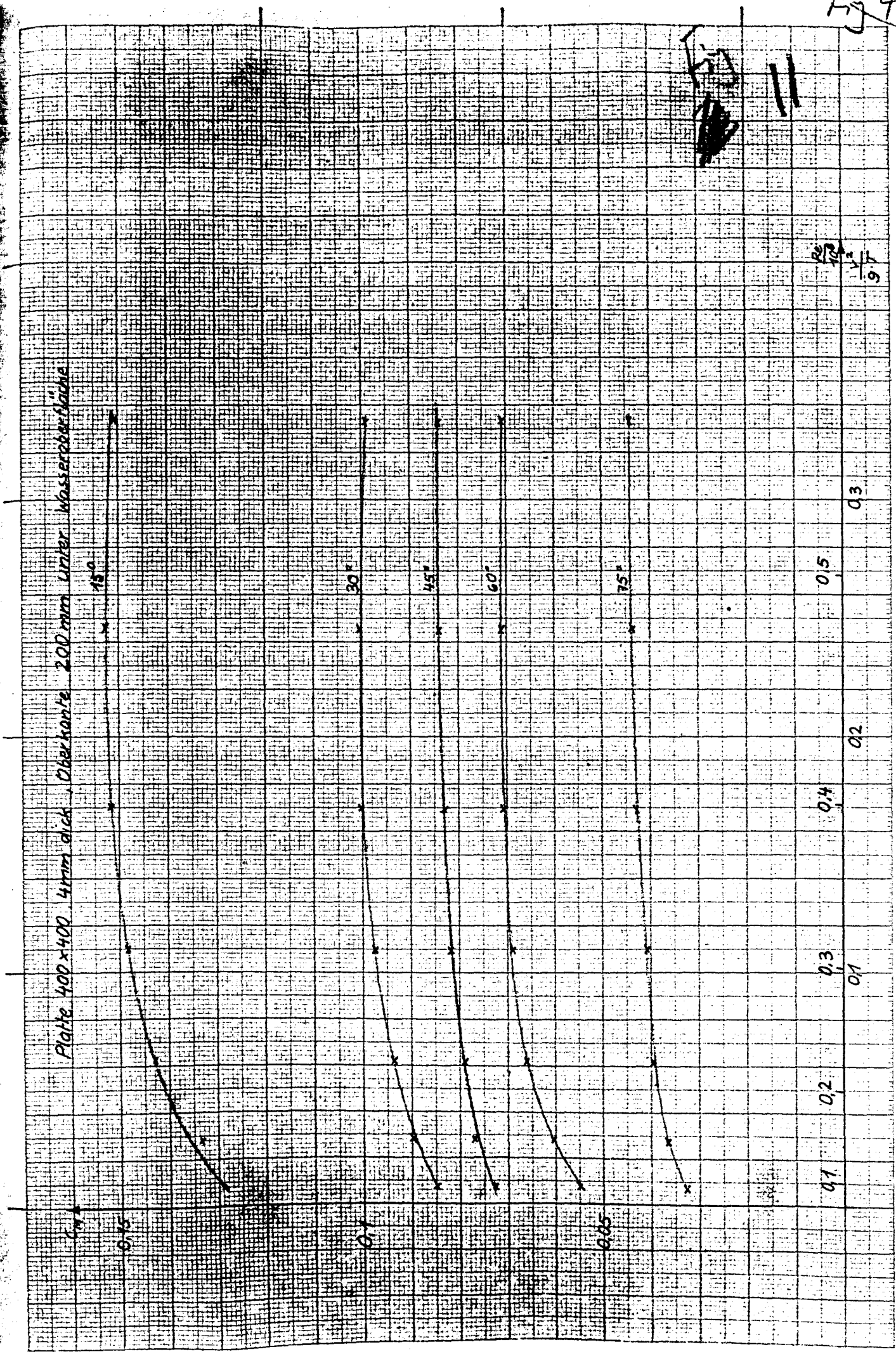
0.5

0.1

0.2

0.3

$\frac{P_0}{100} = \frac{1.7}{9.7}$



Platte 100 x 100, 1,5 mm dick Oberkante 200 mm unter d. Wasseroberfläche

